

**ВЛИЯНИЕ РАСПРЕДЕЛЕНИЯ ПОЛЯ  
ПОВЕРХНОСТНОГО ПОЛЯРИТОНА В СИСТЕМЕ  
ДИЭЛЕКТРИК—МЕТАЛЛ—ПОЛУПРОВОДНИК  
НА ФОТООТВЕТ ПОЛУПРОВОДНИКА**

Беляков Л. В., Горобей Н. Н., Горячев Д. Н.,  
Сресели О. М., Ярошецкий И. Д.

Исследовано влияние поля поверхности поляритона на фотоответ структуры металл—полупроводник. Рассмотрена задача о возбуждении поверхности поляритона в трехслойной системе диэлектрик—металлический слой—полупроводник в приближении толстого слоя металла при наличии рельефной дифракционной решетки на границах раздела. Получено выражение для напряженности электрического поля и вектора Пойнтинга поверхности поляритона в полупроводнике в зависимости от параметров металлического слоя и полупроводника. Проведено сравнение теоретических зависимостей с экспериментальными.

В последние годы для увеличения чувствительности различных фотоприемников используют возбуждение поверхности поляритонов [1–3]. В частности, при освещении поляризованным светом фотоприемников на основе диодов Шоттки с дифракционной решеткой (ДР) на поверхности на спектральных характеристиках фотоответа наблюдается резонансный максимум, вызванный возбуждением поверхности поляритонов (ПП) на границе воздух—металл, отношение фотоответов в резонансе и вдали от него составляет величину  $I_r/I_0=3-7$  [1, 2]. Для изучения возможности дальнейшего повышения отношения  $I_r/I_0$  и повышения селективной чувствительности фотодиодов необходимо рассмотреть распределение энергии падающего света между тремя средами: диэлектриком (воздухом), металлом и полупроводником при возбуждении ПП в зависимости от параметров этих сред. Ранее рассматривались возбуждение ПП в трехслойной системе с гладкими границами раздела (численный расчет) [4], а также возбуждение ПП в двухслойной системе воздух—металл с ДР (аналитическое решение) [5].

Рассмотрим задачу о возбуждении ПП в трехслойной системе диэлектрик—металлический слой—полупроводник в приближении толстого слоя металла при наличии рельефной ДР на границах раздела. Система координат и направление распространения падающей световой волны показаны на рис. 1. Напряженность электрического поля плоской монохроматической волны ТМ поляризации

$$\mathbf{E}(x, y, z, t) = E_0(E_0 \cos \theta, 0, E_0 \sin \theta) \exp(i k_x x + i k_z z) \exp(-i \omega t), \quad (1)$$

где  $E_0$  — амплитуда,  $\omega$  — частота,  $k_1(k_x, 0, k_z)$  — волновой вектор падающей волны. Электрическое поле распространяющихся и дифрагирующих световых волн в разных средах находится из уравнения

$$\nabla \times \nabla \times \mathbf{E}_l - (\omega/c)^2 \epsilon_l \mathbf{E}_l = 0, \quad (2)$$

где  $l=1,2,3$  — диэлектрик, металл и полупроводник соответственно. Рельеф поверхности описывается следующей зависимостью:

$$\xi(x) = \xi_0 \cos qx = \xi_0/2 [\exp(iqx) + \exp(-iqx)], \quad (3)$$

тде  $\xi_0$  — амплитуда,  $q$  — волновой вектор ДР, равный  $2\pi/a$ ,  $a$  — период ДР. Границные условия выражают требование непрерывности тангенциальных компонентов электрического и магнитного полей на гофрированных границах раздела диэлектрик—металл и металл—полупроводник и аналогичны используемым ранее в [6].

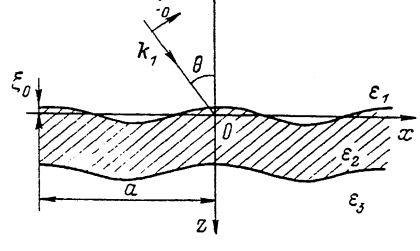
Решения уравнения представим в блоховской форме

$$E_i^{(m)}(x, z, \omega) = \sum_{m=-\infty}^{\infty} \xi_i^{(m)}(z, \omega) \exp[i(k_x + mq)x] \exp(-i\omega t) \quad (4)$$

и будем искать их, сделав следующие предположения и упрощения: а) используем гипотезу Релея, т. е. решения, справедливые вдали от границ раздела, продолжим на сами границы; б) рассмотрим случай малой гофрировки, т. е.  $\xi_0 \ll a$ , и используем теорию возмущений (нулевой и первый порядки дифракции); при этом компоненты с  $m=0$  описывают поля падающих, отраженных и проходящих волн; связь между ними вытекает из формул Френеля металлооптики для слоистой системы, а компоненты с  $m=+1$  описывают поле возбуждаемого ПП в разных средах, т. е.  $k_n(\omega) = k_x + q$ ; в) металлический слой считаем толстым, т. е. ПП, возбуждаемые на разных границах, будем рассматривать независимо ввиду их слабого взаимодействия; г) ПП возбуждаются на границе диэлектрик—металл.

$\xi_i^{(m)}(z, \omega)$  запишем в следующих видах: в диэлектрике

Рис. 1.



$$\xi_1^{(m)}(z, \omega) = E_0 \delta_{m0} \exp(i k_{z1}^{(m)} z) + A_m \exp(-i k_{z1}^{(m)} z), \quad (5)$$

в металле

$$\xi_2^{(m)}(z, \omega) = B_m \exp(i k_{z2}^{(m)} z) + C_m \exp(-i k_{z2}^{(m)} z) \quad (6)$$

и в полупроводнике

$$\xi_3^{(m)}(z, \omega) = T_m \exp(i k_{z3}^{(m)} z), \quad (7)$$

тде

$$k_{zi}^{(m)} = [\varepsilon_i (\omega/c)^2 - (k_x + mq)^2]^{1/2}, \quad (8)$$

$i=1, 2, 3$ ;  $m=0, \pm 1$ ;  $\delta_{m0}$  — символ Кронекера. Видно, что при  $m=0$  постоянная распространения волны вдоль оси  $z$  имеет действительное значение в неактивных первой и третьей средах, что соответствует объемной световой волне, а при возбуждении ПП ( $m=\pm 1$ )  $k_{z1}^{(1)}$  и  $k_{z2}^{(1)}$  мнимые, т. е. поле ПП экспоненциально затухает при удалении от границы раздела, вдоль которой он распространяется. Обращает на себя внимание и то, что величина  $k_{z3}^{(1)}$  при  $m=\pm 1$  и  $\varepsilon_3 > k_n c/\omega$  действительна, т. е. поле ПП при переходе из металла в третью среду с достаточно большим  $\varepsilon_3$  переизлучается в обычную объемную световую волну.

В решениях этой довольно громоздкой задачи нас будут интересовать поле ПП в полупроводнике ( $\xi_3^{(1)}$ ) и соотношение между ним и неполяритонной частью поля прошедшей насквозь падающей волны ( $\xi_3^{(0)}$ ).  $\xi_3^{(0)}$  при  $z=d$  описывается известным выражением

$$\xi_3^{(0)} \equiv T_0 = E_0 \frac{d_{12}^0 d_{23}^0 \exp(i k_2 d)}{1 + r_{12}^0 r_{23}^0 \exp(i 2 k_2 d)}, \quad (9)$$

а  $\xi_3^{(1)} = T_1$  получим после ряда преобразований и упрощений (в частности, далее приводятся формулы для «резонансной» ДР,  $k_n = q$ ) в виде

$$T_1 = \frac{i \xi_0 E_0}{2} \frac{k_{z1}^0 k_{z2}^1 \varepsilon_2 (\varepsilon_2 - \varepsilon_1) (1 - r_{12}^0) (1 + r_{23}^0) \exp(i k_{z2}^1 d)}{(\varepsilon_2 k_{z1}^1 + \varepsilon_1 k_{z2}^1) \varepsilon_1 [1 + r_{12}^0 r_{23}^0 \exp(i 2 k_{z2}^1 d)] [1 + r_{12}^0 r_{23}^0 \exp(i 2 k_{z2}^1 d)]}, \quad (10)$$

$$d_{ij}^0 = \frac{2\epsilon_j k_{zi}^0}{\epsilon_j k_{zi}^0 + \epsilon_i k_{zj}^0}, \quad r_{ij}^m = \frac{\epsilon_j k_{zi}^m - \epsilon_i k_{zj}^m}{\epsilon_j k_{zi}^m + \epsilon_i k_{zj}^m}. \quad (11)$$

Полагая  $k_{z2}^0 \cong k_{z2}^1 = k_2$  и  $k_{z3}^0 \cong k_{z3}^1 = k_3$ , т. е.  $|\epsilon_2|, \epsilon_3 \gg 1$ , и обозначив  $k_{z1}^1 = k_1$ , получим, что отношение амплитуд равно

$$\frac{T_1}{T_0} = \frac{-i\xi_0}{2} \frac{k_1 k_2 (\epsilon_2 - \epsilon_1) (k_2 \epsilon_3 + k_3 \epsilon_2)}{(\epsilon_1 k_2 + \epsilon_2 k_1) (\epsilon_2 k_3 + \epsilon_3 k_2) + (\epsilon_1 k_2 - \epsilon_2 k_1) (\epsilon_2 k_3 - \epsilon_3 k_2)} \exp(i2k_2 d). \quad (12)$$

Можно показать, что условие возбуждения ПП в трехслойной системе с гладкими границами заключается в равенстве нулю знаменателя этого выражения. В нулевом порядке теории возмущений по малому параметру  $\exp(i2k_2 d)$  это условие сводится к условию возбуждения ПП в двухслойной системе диэлектрик—металл

$$\begin{aligned} \epsilon_1 k_2 + \epsilon_2 k_1 &= 0, \\ \text{т. е. } k_n &= k_0 [\epsilon_1 \epsilon_2 / (\epsilon_1 + \epsilon_2)]^{1/2}; \quad k_0 = \omega/c. \end{aligned} \quad (13)$$

Как показано в [7], при больших  $d$  влияние второй границы раздела приводит к поправке порядка  $\text{const} \cdot \exp(i2k_2 d)$  к величине  $k_n$ . При возбуждении ПП в на-

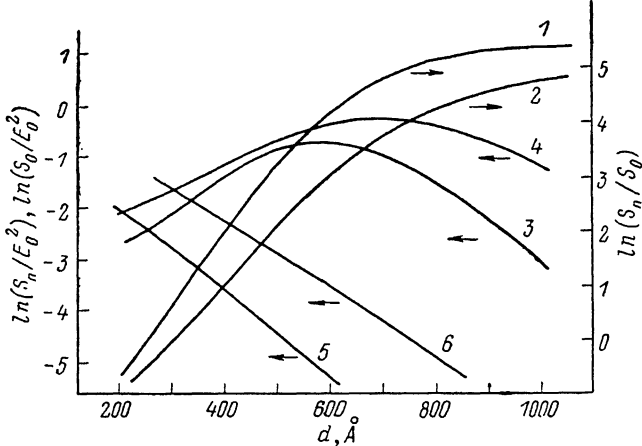


Рис. 2. Зависимость величин  $S_\pi/S_0$  (1, 2),  $S_\pi$  (3, 4) и  $S_0$  (5, 6) от толщины слоя металла  $d$ .  
 $\lambda, \text{мкм: } 1, 3, 5 = 0.6328, 2, 4, 6 = 0.5145.$

шем случае знаменатель выражения (12) стремится к нулю, но остается конечной величиной благодаря наличию затухания в структуре (диссипация и потеря на переизлучение ПП на ДР).

Учтем комплексность диэлектрической проницаемости  $\epsilon_2$  и связанного с ней  $k_2$  и преобразуем (12), введя обозначения

$$\begin{aligned} \epsilon_2 &= \epsilon'_2 + i\epsilon''_2, \quad \epsilon_1 = 1, \quad k_1 = i\gamma_1 = ik_0 [(k_n/k_0)^2 - 1]^{1/2}, \\ k_2 &= i\gamma_2 = ik_0 [(k_n/k_0)^2 - \epsilon_2]^{1/2}, \quad \gamma_2 = \gamma'_2 + i\gamma''_2. \end{aligned} \quad (14)$$

Тогда

$$\frac{T_1}{T_0} = \frac{\xi_0}{2} \frac{-\gamma_1 [\gamma'_2 (\epsilon'_2 - 1) + i(\gamma''_2 \epsilon'_2 + \gamma'_2 \epsilon''_2)]}{(\gamma'_2 + \gamma_1 \epsilon'_2) + i(\gamma''_2 + \gamma_1 \epsilon''_2) + \frac{f_1 + if_2}{f_3} \exp(-2\gamma'_2 d)}, \quad (15)$$

где

$$f_1 = (\gamma'_2 - \gamma_1 \epsilon'_2) [-\epsilon_3^2 (\gamma_2^2 + k_3^2 (\epsilon'_2)^2) + 2k_3 \epsilon_3 \gamma'_2 \epsilon'_2 (\gamma_2'' - \gamma_1 \epsilon''_2)],$$

$$f_2 = (\gamma'_2 - \gamma_1 \epsilon''_2) [-\epsilon_3^2 (\gamma_2^2 + k_3^2 (\epsilon'_2)^2) - 2k_3 \epsilon_3 \gamma'_2 \epsilon'_2 (\gamma_2' - \gamma_1 \epsilon'_2)],$$

$$f_3 = (\epsilon_3 \gamma'_2 + k_3 \epsilon''_2)^2 + (\epsilon_3 \gamma''_2 - k_3 \epsilon'_2)^2.$$

Для сравнения с экспериментом целесообразно определить отношение средних по периоду значений вектора Пойнтинга переизлученной поляритонной волны в полупроводнике  $S_\pi$  и проходящей насквозь объемной (Френелевской) волны  $S_0$ :

$$\frac{S_n}{S_0} = \left( \frac{T_1}{T_0} \right) \left( \frac{T_1}{T_0} \right)^* = \\ = \left( \frac{\xi_0 \gamma_1}{2} \right)^2 \frac{(\gamma'_2)^2 (\gamma''_2 - 1)^2 + (\gamma''_2 \varepsilon'_2 + \gamma'_2 \varepsilon''_2)^2}{\left[ (\gamma'_2 + \gamma_1 \varepsilon'_2) + \frac{f_1}{f_3} \exp(-2\gamma'_2 d) \right]^2 + \left[ (\gamma''_2 + \gamma_1 \varepsilon''_2) + \frac{f_2}{f_3} \exp(-2\gamma'_2 d) \right]^2}. \quad (16)$$

Результаты численного расчета этого выражения приведены на рис. 2 с учетом того, что  $k_n/k_0 \approx 1$ ,  $|\varepsilon'_2|$  и  $\varepsilon_3 \gg 1$ ,  $\varepsilon'_2$  отрицательна,  $\gamma'_2 \approx k_0 \times \sqrt{|\varepsilon'_2|^{1/2}}$ ,  $\gamma''_2 \ll \gamma'_2$ ,  $\gamma''_2 = -0.5k_0\varepsilon''_2/|\varepsilon'_2|^{-1/2}$ ,  $k_3 \approx k_0\varepsilon_3^{1/2}$ . На больших толщинах  $\gamma_1$  вычислялась по (13):  $\gamma_1 \approx k_0 (|\varepsilon'_2| - 1)^{-1/2}$ , а для относительно небольших толщин учитывалась поправка  $\Delta k_1$  работы [7]. На рис. 2 приведены зависимости  $S_n/S_0$  от толщины металлического слоя в системе воздух—Ag—GaAs для двух длин волн возбуждающего света  $\lambda = 0.6328$  и  $0.5145$  мкм при  $\xi_0 = 100$  Å (кривые 1, 2). Оптические постоянные для Ag взяты из [8], а для GaAs — из [9].

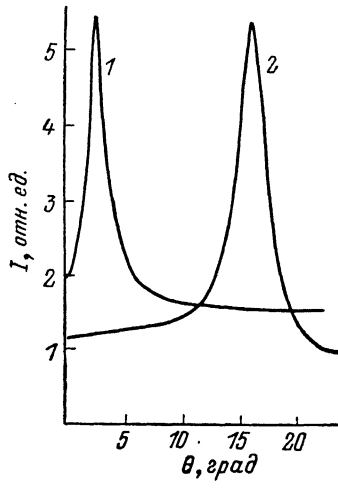


Рис. 3. Зависимость фотоответа структуры Ag—GaAs от угла падения ТМ поляризованного света.

$\lambda$ , мкм: 1 — 0.6328, 2 — 0.5145.  
Параметры ДР:  $a = 0.637$  мкм,  $\xi = 150$  Å. Толщина Ag  $d = 620$  Å.

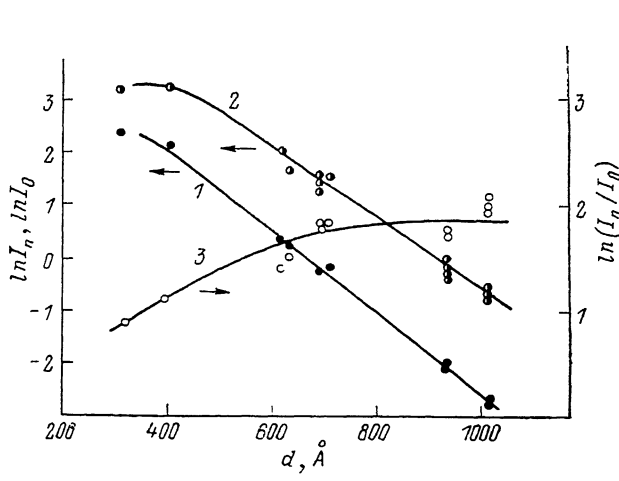


Рис. 4. Зависимость фотоответа структуры от толщины металлического слоя  $d$ .

1 —  $I_0$ , 2 —  $I_n$ , 3 —  $I_n/I_0$ .

Анализ зависимости (16) показывает, что при достаточно малой толщине  $d$ , но при которой приближение толстого слоя уже работает, слагаемые, стоящие в знаменателе (16) и зависящие от  $d$ , превышают постоянные члены и отношение  $S_n/S_0$  растет. Эти слагаемые описывают затухание ПП из-за его переизлучения в объемную волну в полупроводнике. По мере увеличения  $d$  экспоненциальные множители уменьшаются и, следовательно, поле ПП растет. Однако при дальнейшем увеличении  $d$  определяющую роль в выражении (16) играют постоянные члены, главным образом  $\gamma''_2 + \gamma_1 \varepsilon''_2$ , описывающие затухание ПП, обусловленное диссипацией в металле. Отношение  $S_n/S_0$  становится постоянным, но сами величины  $S_n$  и  $S_0$  экспоненциально уменьшаются с ростом  $d$ . Надо отметить, что в некотором интервале толщин  $S_n$  растет по абсолютной величине с ростом  $d$  (рис. 2, кривые 3, 4). Этот интересный, но не очевидный эффект связан, по-видимому, с разным поглощением в металле поляритонной антисимметричной моды и объемной световой волны.

Экспериментально исследовалась величина резонансного пика фотоответа структуры типа диода Шоттки с ДР на границе раздела при возбуждении ПП на границе воздух—металл ( $I_n$ ) в зависимости от толщины металлического слоя  $d$  и в сравнении с фотоответом в отсутствие возбуждения ПП ( $I_0$ ). Можно полагать, что отношение этих величин эквивалентно отношению  $S_n/S_0$ , так как

фотоответ структуры с поверхностью барьера пропорционален интенсивности света, вошедшего в полупроводник.

На поверхности образцов GaAs ( $n=2 \cdot 10^{17} \text{ см}^{-3}$ ) методом фотохимического интерференционного травления [10] изготавливались рельефные ДР с шагом 0.5 мкм и глубиной 300 Å ( $\xi_0=150$  Å), поверх которых напылялся слой Ag; толщина последнего определялась по оптической плотности контрольных слоев на стеклянных подложках и с помощью интерференционного микроскопа. Условие «толстого» слоя для Ag [ $\exp(-2\gamma_2 d) \ll 1$ ] выполняется начиная с толщиной 150–200 Å, поэтому  $d$  выбиралось в пределах от 200 до 1000 Å. Измеряли фототок или фотоэдс между Ag и омическим контактом на тыльной стороне образца GaAs при освещении ТМ поляризованным светом с  $\lambda=0.6328$  и  $0.5145$  мкм при угле падения, соответствующем условию возбуждения ПП ( $I_0$ ):

$$k_0 \sin \theta + q = k_{\pi}, \quad (17)$$

и в отсутствие возбуждения ПП ( $I_0$ ). Экспериментальные кривые приведены на рис. 3. На рис. 4 приведены зависимости  $I_0$ ,  $I_{\pi}$  и  $I_{\pi}/I_0$  от толщины металла. Зависимость  $I_0$  от толщины  $d$ , как и следовало ожидать, хорошо спрямляется в координатах  $\ln I_0 = f(d)$ , наклон прямой дает  $\gamma_2 = 3.9 \cdot 10^5 \text{ см}^{-1}$ , что несколько меньше расчетного значения  $4.26 \cdot 10^5 \text{ см}^{-1}$ . Зависимость  $I_{\pi}$  от  $d$  (рис. 4, кривая 2) имеет немонотонный характер, но предсказанного теорией возрастания  $S_{\pi}$  и, следовательно,  $I_{\pi}$  не наблюдается. Увеличение  $d$  приводит к более пологому спаду  $I_{\pi}$ , чем  $I_0$ . Отношение  $I_{\pi}/I_0$  (рис. 4, кривая 3) растет с увеличением толщины слоя  $d$ , а при больших толщинах стремится к насыщению, т. е. качественно ход зависимости  $I_{\pi}/I_0$  повторяет ход зависимости  $S_{\pi}/S_0$ .

Обращает на себя внимание существенное различие в абсолютных величинах экспериментально полученного отношения поляритонного пика фотоответа к фотоответу без возбуждения ПП (порядка 10) и предсказанного теорией (до 280 на толстых слоях Ag). Возможной причиной этого может быть то, что теория возмущений справедлива для относительно малых глубин ДР и не учитывает переизлучения ПП в воздухе и полупроводник, связанного с распространением ПП по гофрированной поверхности. Однако наши оценки показывают, что более существенной причиной следует считать наличие заметного диффузного рассеяния света поверхностью образцов, связанного с химическим растрепливанием полупроводника в процессе изготовления ДР и не учитываемого расчетом. Поэтому можно ожидать, что более качественное изготовление ДР и слоев серебра (имеется в виду влияние технологии напыления Ag на величину  $\epsilon_2''$ ) приведет к значительному росту отношения  $I_{\pi}/I_0$ .

Авторы признательны В. А. Кособукину и Б. Л. Румянцеву за полезные обсуждения.

#### Л и т е р а т у р а

- [1] Беляков Л. В., Горячев Д. Н., Сресели О. М., Ярошецкий И. Д. — Письма ЖТФ, 1985, т. 11, в. 19, с. 1162–1165.
- [2] Berthold K., Beinstingl W., Berger R., Gornik E. — Appl. Phys. Lett., 1986, v. 48, N 8, p. 526–528.
- [3] Berthold K., Hopfel R. A., Gornik E. — Appl. Phys. Lett., 1985, v. 46, N 7, p. 626–628.
- [4] Fergusson P., Wallis R., Chauvet G. — Surf. Sci., 1979, v. 82, N 1, p. 255–269.
- [5] Емельянов В. И., Семиногов В. Н., Соколов В. И. — Квант. электрон., 1987, т. 14, в. 1, с. 33–46.
- [6] Поверхностные поляритоны / Под ред. В. М. Аграновича, Д. Л. Миллса. М., 1985. 525 с.
- [7] Kretschmann E. — Z. Physik, 1971, Bd 241, H. 4, S. 313–324.
- [8] Johnson P. B., Christy R. W. — Phys. Rev., 1972, v. 6B, N 12, p. 4370–4379.
- [9] Aspnes D. E., Studna A. A. — Phys. Rev., 1983, v. 27B, N 6, p. 985–991.
- [10] Беляков Л. В., Горячев Д. Н., Парицкий Л. Г., Сресели О. М. — ФТП, 1976, т. 10, в. 8, с. 1603.